

Starkniederschlagshöhen und -spenden gemäß KOSTRA-DWD-2020

Rasterfeld 132138

(Zeile 132, Spalte 138)

Regenspende und Bemessungsniederschlagswerte in Abhängigkeit von Wiederkehrzeit T und Dauerstufe D

| Dauerstufe D | | Wiederkehrzeit T | | | | | | | | | | | | | | | | | |
|--------------|-----|------------------|------------|------|------------|------|------------|------|------------|-------|------------|-------|------------|-------|------------|-------|------------|-------|------------|
| | | 1 a | | 2 a | | 3 a | | 5 a | | 10 a | | 20 a | | 30 a | | 50 a | | 100 a | |
| min | Std | mm | l / (s ha) | mm | l / (s ha) | mm | l / (s ha) | mm | l / (s ha) | mm | l / (s ha) | mm | l / (s ha) | mm | l / (s ha) | mm | l / (s ha) | mm | l / (s ha) |
| 5 | | 6,9 | 230,0 | 8,5 | 283,3 | 9,5 | 316,7 | 10,8 | 360,0 | 12,7 | 423,3 | 14,7 | 490,0 | 16,0 | 533,3 | 17,7 | 590,0 | 20,1 | 670,0 |
| 10 | | 9,0 | 150,0 | 11,1 | 185,0 | 12,5 | 208,3 | 14,2 | 236,7 | 16,7 | 278,3 | 19,3 | 321,7 | 21,0 | 350,0 | 23,2 | 386,7 | 26,4 | 440,0 |
| 15 | | 10,3 | 114,4 | 12,8 | 142,2 | 14,3 | 158,9 | 16,3 | 181,1 | 19,2 | 213,3 | 22,1 | 245,6 | 24,0 | 266,7 | 26,6 | 295,6 | 30,2 | 335,6 |
| 20 | | 11,3 | 94,2 | 14,0 | 116,7 | 15,6 | 130,0 | 17,8 | 148,3 | 21,0 | 175,0 | 24,2 | 201,7 | 26,3 | 219,2 | 29,1 | 242,5 | 33,1 | 275,8 |
| 30 | | 12,7 | 70,6 | 15,8 | 87,8 | 17,6 | 97,8 | 20,1 | 111,7 | 23,6 | 131,1 | 27,3 | 151,7 | 29,7 | 165,0 | 32,8 | 182,2 | 37,3 | 207,2 |
| 45 | | 14,3 | 53,0 | 17,6 | 65,2 | 19,7 | 73,0 | 22,5 | 83,3 | 26,4 | 97,8 | 30,5 | 113,0 | 33,2 | 123,0 | 36,7 | 135,9 | 41,7 | 154,4 |
| 60 | 1 | 15,4 | 42,8 | 19,1 | 53,1 | 21,3 | 59,2 | 24,3 | 67,5 | 28,6 | 79,4 | 33,0 | 91,7 | 35,9 | 99,7 | 39,7 | 110,3 | 45,1 | 125,3 |
| 90 | 1,5 | 17,2 | 31,9 | 21,2 | 39,3 | 23,7 | 43,9 | 27,0 | 50,0 | 31,8 | 58,9 | 36,7 | 68,0 | 39,9 | 73,9 | 44,1 | 81,7 | 50,2 | 93,0 |
| 120 | 2 | 18,5 | 25,7 | 22,9 | 31,8 | 25,6 | 35,6 | 29,1 | 40,4 | 34,3 | 47,6 | 39,5 | 54,9 | 43,0 | 59,7 | 47,5 | 66,0 | 54,1 | 75,1 |
| 180 | 3 | 20,5 | 19,0 | 25,3 | 23,4 | 28,3 | 26,2 | 32,3 | 29,9 | 38,0 | 35,2 | 43,9 | 40,6 | 47,7 | 44,2 | 52,7 | 48,8 | 59,9 | 55,5 |
| 240 | 4 | 22,0 | 15,3 | 27,3 | 19,0 | 30,5 | 21,2 | 34,7 | 24,1 | 40,8 | 28,3 | 47,2 | 32,8 | 51,3 | 35,6 | 56,7 | 39,4 | 64,5 | 44,8 |
| 360 | 6 | 24,4 | 11,3 | 30,2 | 14,0 | 33,7 | 15,6 | 38,4 | 17,8 | 45,2 | 20,9 | 52,2 | 24,2 | 56,8 | 26,3 | 62,8 | 29,1 | 71,4 | 33,1 |
| 540 | 9 | 27,0 | 8,3 | 33,4 | 10,3 | 37,3 | 11,5 | 42,5 | 13,1 | 50,0 | 15,4 | 57,8 | 17,8 | 62,8 | 19,4 | 69,4 | 21,4 | 78,9 | 24,4 |
| 720 | 12 | 29,0 | 6,7 | 35,8 | 8,3 | 40,1 | 9,3 | 45,7 | 10,6 | 53,7 | 12,4 | 62,0 | 14,4 | 67,5 | 15,6 | 74,6 | 17,3 | 84,8 | 19,6 |
| 1080 | 18 | 32,0 | 4,9 | 39,6 | 6,1 | 44,3 | 6,8 | 50,5 | 7,8 | 59,4 | 9,2 | 68,6 | 10,6 | 74,6 | 11,5 | 82,5 | 12,7 | 93,8 | 14,5 |
| 1440 | 24 | 34,4 | 4,0 | 42,6 | 4,9 | 47,6 | 5,5 | 54,2 | 6,3 | 63,8 | 7,4 | 73,7 | 8,5 | 80,1 | 9,3 | 88,6 | 10,3 | 100,7 | 11,7 |
| 2880 | 48 | 40,8 | 2,4 | 50,5 | 2,9 | 56,5 | 3,3 | 64,4 | 3,7 | 75,7 | 4,4 | 87,4 | 5,1 | 95,1 | 5,5 | 105,1 | 6,1 | 119,5 | 6,9 |
| 4320 | 72 | 45,1 | 1,7 | 55,8 | 2,2 | 62,5 | 2,4 | 71,2 | 2,7 | 83,7 | 3,2 | 96,6 | 3,7 | 105,1 | 4,1 | 116,2 | 4,5 | 132,1 | 5,1 |
| 5760 | 96 | 48,5 | 1,4 | 59,9 | 1,7 | 67,1 | 1,9 | 76,4 | 2,2 | 89,8 | 2,6 | 103,7 | 3,0 | 112,8 | 3,3 | 124,7 | 3,6 | 141,8 | 4,1 |
| 7200 | 120 | 51,2 | 1,2 | 63,3 | 1,5 | 70,8 | 1,6 | 80,7 | 1,9 | 94,9 | 2,2 | 109,6 | 2,5 | 119,2 | 2,8 | 131,8 | 3,1 | 149,8 | 3,5 |
| 8640 | 144 | 53,6 | 1,0 | 66,2 | 1,3 | 74,1 | 1,4 | 84,4 | 1,6 | 99,3 | 1,9 | 114,6 | 2,2 | 124,7 | 2,4 | 137,8 | 2,7 | 156,7 | 3,0 |
| 10080 | 168 | 55,6 | 0,9 | 68,8 | 1,1 | 77,0 | 1,3 | 87,7 | 1,5 | 103,1 | 1,7 | 119,1 | 2,0 | 129,5 | 2,1 | 143,2 | 2,4 | 162,8 | 2,7 |

Starkniederschlagshöhen und -spenden gemäß KOSTRA-DWD-2020

Rasterfeld 132138

(Zeile 132, Spalte 138)

Örtliche Unsicherheiten in Abhängigkeit von Wiederkehrzeit T und Dauerstufe D

| Dauerstufe D | | Wiederkehrzeit T | | | | | | | | |
|--------------|-----|------------------|-----|-----|-----|------|------|------|------|-------|
| | | 1 a | 2 a | 3 a | 5 a | 10 a | 20 a | 30 a | 50 a | 100 a |
| min | Std | ± % | ± % | ± % | ± % | ± % | ± % | ± % | ± % | ± % |
| 5 | | 11 | 12 | 12 | 13 | 13 | 14 | 14 | 15 | 15 |
| 10 | | 13 | 15 | 16 | 17 | 18 | 19 | 19 | 20 | 20 |
| 15 | | 15 | 17 | 18 | 19 | 20 | 21 | 22 | 22 | 23 |
| 20 | | 16 | 19 | 20 | 21 | 22 | 23 | 23 | 24 | 24 |
| 30 | | 18 | 20 | 21 | 22 | 23 | 24 | 25 | 25 | 26 |
| 45 | | 18 | 20 | 21 | 23 | 24 | 25 | 25 | 26 | 26 |
| 60 | 1 | 18 | 20 | 22 | 23 | 24 | 25 | 25 | 26 | 27 |
| 90 | 1,5 | 18 | 20 | 21 | 22 | 23 | 24 | 25 | 25 | 26 |
| 120 | 2 | 17 | 20 | 21 | 22 | 23 | 24 | 24 | 25 | 26 |
| 180 | 3 | 16 | 19 | 20 | 21 | 22 | 23 | 23 | 24 | 25 |
| 240 | 4 | 16 | 18 | 19 | 20 | 21 | 22 | 23 | 23 | 24 |
| 360 | 6 | 15 | 17 | 18 | 19 | 20 | 21 | 22 | 22 | 23 |
| 540 | 9 | 14 | 16 | 17 | 18 | 19 | 20 | 20 | 21 | 22 |
| 720 | 12 | 13 | 15 | 16 | 17 | 18 | 19 | 20 | 20 | 21 |
| 1080 | 18 | 13 | 14 | 15 | 16 | 17 | 18 | 19 | 19 | 20 |
| 1440 | 24 | 12 | 14 | 15 | 16 | 17 | 17 | 18 | 18 | 19 |
| 2880 | 48 | 12 | 13 | 14 | 15 | 15 | 16 | 16 | 17 | 17 |
| 4320 | 72 | 13 | 13 | 14 | 14 | 15 | 16 | 16 | 16 | 17 |
| 5760 | 96 | 14 | 14 | 14 | 14 | 15 | 15 | 16 | 16 | 16 |
| 7200 | 120 | 14 | 14 | 14 | 15 | 15 | 15 | 16 | 16 | 16 |
| 8640 | 144 | 15 | 14 | 15 | 15 | 15 | 16 | 16 | 16 | 16 |
| 10080 | 168 | 15 | 15 | 15 | 15 | 15 | 16 | 16 | 16 | 16 |

Parameter für abweichende T und D

Lokationsparameter ξ (Xi)

15,74666795

Skalenparameter α (Alpha)

5,18619933

Formparameter κ (Kappa)

-0,1

1. Koutsoyiannis-Parameter θ (Theta)

0,02771308

2. Koutsoyiannis-Parameter η (Eta)

0,75353007

Parameter für dauerstufenübergreifende Extremwertschätzung nach KOUTSOYIANNIS et al. 1998.

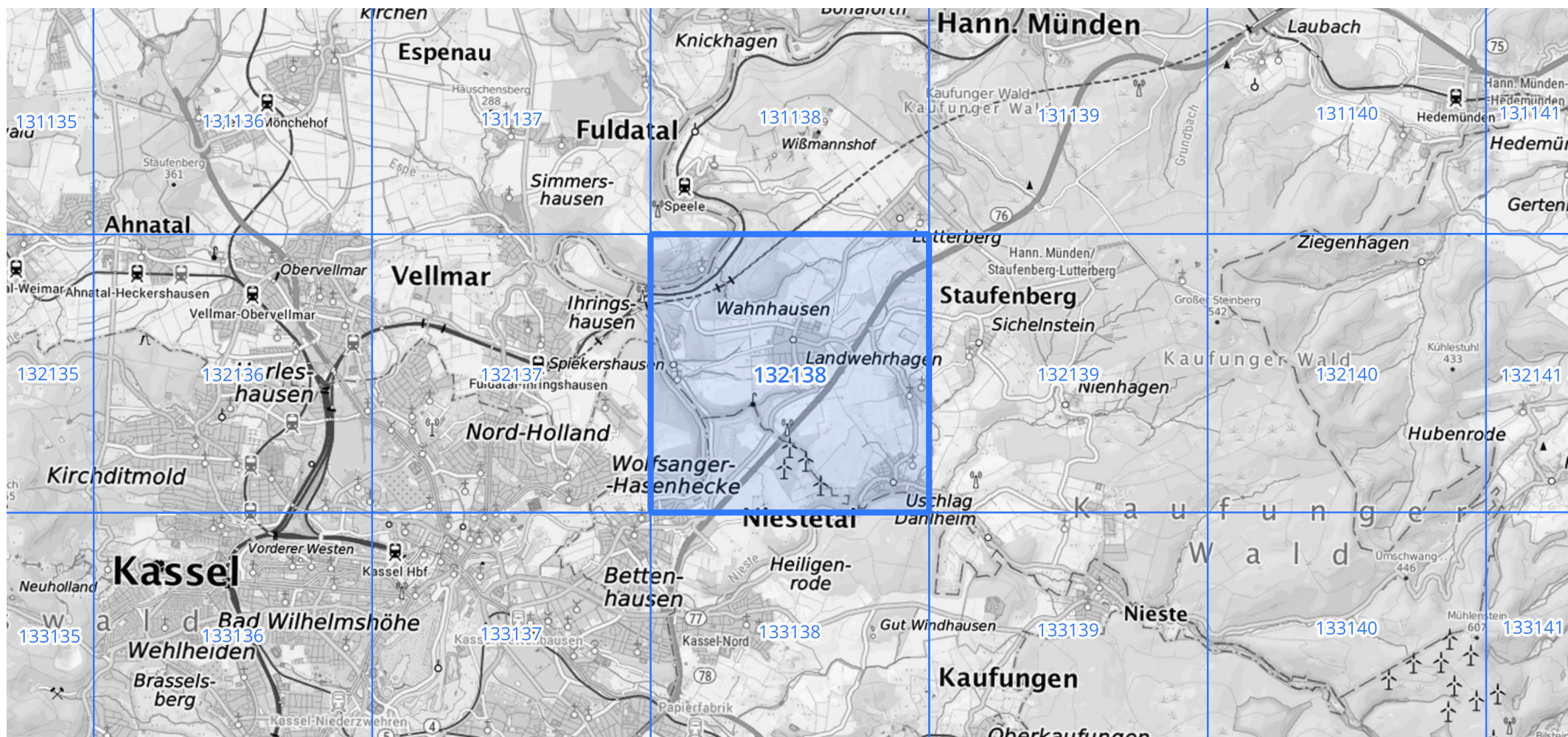
Siehe auch Anwendungshilfe zu KOSTRA-DWD-2020 des Deutschen Wetterdienstes.

Starkniederschlagshöhen und -spenden gemäß KOSTRA-DWD-2020

Rasterfeld 132138

(Zeile 132, Spalte 138)

Übersichtskarte des Rasterfeldes 132138, M 1 : 100 000



Quelle Rasterdaten: KOSTRA-DWD-2020 des Deutschen Wetterdienstes, Stand 12/2022.

Seite 3 von 3

Kartendarstellung: © Bundesamt für Kartographie und Geodäsie (2023), Datenquellen: https://sgx.geodatenzentrum.de/web_public/gdz/datenquellen/Datenquellen_TopPlusOpen.html

Für die Richtigkeit und Aktualität der Angaben wird keine Gewähr übernommen. Erstellt 01/2023.